

3. Ониани Т. Н. Корреляция между эмоциональным напряжением и динамикой электрической активности нео- и архипалеокортика в цикле бодрствование — сон // Нейрофизиология эмоций и цикла бодрствование — сон. — Тбилиси : Мецниереба, 1976.— Т. 2— С. 5—27.
4. Ониани Т. Н., Коридзе М. Г., Кавкасадзе М. Г., Гветадзе Л. Б. Влияние электрического раздражения структур среднего и промежуточного мозга на динамику различных фаз сна и их соотношение // Там же.— С. 28—62.
5. Andy O. J., Stephan H. The septum, a comparative study on its site insectivorous and primates // Anat. Rec.— 1963, 145, N 2.— P. 201—208.
6. Apostol G., Greutzfeldt O. D. Crosscorrelation between the activity of septal units and hippocampal EEG during arousal // Brain Res.— 1974.— 67, N1.— С. 65—75.
7. Buchwald J. S., Grover F. S. Amplitudes of background fast activity characteristic of specific brain sites // J. Neurophysiol.— 1970.— 33, N 1.— P. 148—159.
8. Bures I., Petran M., Zachar I. Electrophysiological methods in biological research.— Prague : Acad. publish. house Czechoslovak Acad. Sci., 1967.— 824 p.
9. Gogolak G., Stumpf C., Petsche H., Sterc J. The firing pattern of septal neurons and the form of the hippocampal theta wave // Brain Res.— 1968.— 7, N 2.— P. 201—207.
10. Henneman E., Somien G., Carpenter D. O. Functional significance of cell site in spinal motoneurons // J. Neurophysiol.— 1965.— 28, N 3.— P. 560—580.
11. Isaacson R. L. The limbic system.— New York; London : Plenum press, 1974.— 279 p.
12. Koella W. P. Neurotransmitters and Sleep // Psychopharmacology of sleep.— New York : Raven press, 1981.— P. 19—52.
13. Krayniak P. F., Siegel A., Meibach R. C. Origin of the fornix system in the squirrel monkey // Brain Res.— 1979.— 160, N 3.— P. 401—411.
14. Olmstead C. E., Best P. J., Mays L. E. Neural activity in the dorsal hippocampus during paradoxical sleep, slow wave sleep and waking // Там же.— 1973.— 60, N 2.— P. 381—391.
15. Rank J. B. Behavioral correlates and firing repertoires of neurons in the dorsal hippocampal formation and septum of unrestrained rats // The Hippocampus.— Vol. 2.— New York; London : Plenum press, 1975.— P. 207—244.
16. Rosvold H. E., Dolgado L. M. R. The effect on delayed alternation test performance of stimulating or destroying electrically structures within the frontal lobes of the monkeys brain // J. comp. physiol. psychol.— 1956.— 49, N 3.— P. 365—372.
17. Schwab M. A., Javoy-Agid F., Agid J. Labeled wheatgerm agglutinin (WGA) as a new highly sensitive retrograde tracer in the rat brain hippocampal system // Brain Res.— 1978.— 152, N 1.— P. 145—150.
18. Swanson L. W., Cowan W. M. The connections of the septal region in the rat // J. comp. neurol.— 1979.— 186, N 4.— P. 621—656.
19. Wyss J. M. Hypothalamic and brainstem afferents to the hippocampal formation in rat // Abstr. Soc. Neurosci.— 1977.— N 3.— P. 209.

Ин-т физиологии им. И. С. Бериташвили
АН ГССР, Тбилиси

Поступила 20.04.87

УДК 612.015:616.006

Ионная проводимость клеточных мембран развивающихся зародышей вынона

Е. А. Гойда, П. Р. Медына

За последнее десятилетие предметом пристального внимания ученых стали электрофизиологические параметры мембран эмбриональных развивающихся клеток [2]. Установлено, что плазматическая мембрана яйцеклетки в момент оплодотворения генерирует потенциал активации, весьма сходный с потенциалом действия нервных структур, но имеющий замедленную временную развертку. Причем кратковременная деполяризация мембран при оплодотворении является необходимым условием активации яиц к развитию, поскольку при фиксации потенциала на уровне, более отрицательном, чем -20 мВ, оплодотворения не происходит [8].

На следующем этапе развития, при синхронных дроблениях бластомеров, у развивающихся зародышей иглокожих, рыб, амфибий обнаружены периодические колебания уровня трансмембранныго потенциала (ТМП) и проводимости мембран, которые регулярно повторяются, отражая динамику функциональной активности клеточных структур в

каждом клеточном цикле [1]. Роль электрофизиологии в изучении возможную роль электрофизиологии в изучении процессов пролиферации еще недостаточно, чтобы добных ритмических явлений заться исследование электропроводимости эмбриональных клеток с применение которого, однозначно.

С учетом сказанного в электрофизиологические свойства (gurnus fossilis L.) в течении менением метода фиксации мембран для ионов кальция

Методика

Яйцеклетки вынона получали и определяли время активации яйцеклеток зиготы помещением натрия (среда Б) и с помостью перивителлиновых оболочек легко до появления 2-й борозды. На более поздних стадиях различительного отделения их значительной манипуляции легче проводить в плавательной ванне.

Освобожденные от перивителлиновой оболочки яйцеклетки переносили в камеры, в которых позволяют производить различные опыты и 2 мл/мин при постоянной температуре. Затем посредством механического манипулятора, определяя топографию попадания на мембрану, вводили в яйцеклетку дыш микроэлектроды. Сопротивление готовленных из стекла «Пирекс» яйцеклеток было 10 Мом.

Фиксацию потенциала производили измерительного, другого — токового, измеренного в работе Первика [6], на водимость мембран рассчитывали, как во время фиксированных гипертоний на 5 или 10 мВ. Для получения импульса подачу прямоугольных импульсов 2 с. Регистрацию уровней фиксированной проводимости, а также потенциала производили с помощью измерителя ЭВМ СМ-3.

В проведенных опытах испытуемых яйцеклеток, представляющие собой сированные по ионной силе. Раствор А: KCl — 5, NaCl — 5; pH 7,6. Раствор Б: KCl — 1,4, NaCl — 5; pH 7,6. Раствор В: KCl — 1,4, NaCl — 5; pH 7,6. Раствор Г: KCl — 1,4, NaCl — 5; pH 7,6. Раствор Д: KCl — 40, NaCl — 40, CaCl₂ — 10.

Результаты и их обсуждение

Перивителлиновая оболочка яйцеклетки от механических повреждений. Поэтому предстояло на уровне ТМП, и можно ли получить большого числа зигот, обработанных трипсином. Однако мы заметили, что

каждом клеточном цикле [2]. Некоторые авторы указывают на возможную роль электрофизиологических параметров мембран в регуляции процессов пролиферации клеток [7]. Однако имеющихся сведений еще недостаточно, чтобы аргументированно обосновать механизм подобных ритмических явлений. Весьма перспективным здесь может оказаться исследование электрических характеристик мембран делящихся эмбриональных клеток с использованием метода фиксации потенциала, применение которого, однако, сопряжено с рядом технических трудностей.

С учетом сказанного в данной работе ставилась задача изучить электрофизиологические свойства мембранны зародышей выноса (*Misgurnus fossilis* L.) в течение периода дробления бластомеров с применением метода фиксации потенциала, а также характер проницаемости мембран для ионов калия, натрия, хлора.

Методика

Яйцеклетки выноса получали и оплодотворяли по Нейфауху [5]. Через 20 мин после активации яйцеклеток зиготы помещали в раствор Гольтфретера с пониженным содержанием натрия (среда Б) и с помощью специальных препаровальных иголок освобождали от перивитлиновых оболочек. Следует отметить, что эти оболочки снимаются легко до появления 2-й борозды дробления, и зародыши при этом не повреждаются. На более поздних стадиях развития оболочки становятся жесткими, и операция механического отделения их значительно усложняется. Кроме того, заметим, что все эти манипуляции легче проводить в пластмассовых чашках Петри.

Освобожденные от перивитлиновых оболочек зародыши пастеровской оправленной пипеткой переносили в камеры из оргстекла (вместимость 0,5 мл), конструкция которых позволяет производить смену растворов со скоростью 0,2 мл/мин при длительных опытах и 2 мл/мин при необходимости экстренной смены инкубационной среды. Затем посредством механических микроманипуляторов из комплекта КМ-2, контролируя топографию попадания под объективом микроскопа МБС-2, вводили в зародыш микроэлектроды. Сопротивление микроэлектродов с внутренним капилляром, изготовленных из стекла «Пирекс» и заполненных 3 моль/л раствором KCl, не превышало 10 МОм.

Фиксацию потенциала производили с помощью двух микроэлектродов: одного — измерительного, другого — токового. Электронная часть собрана по схемам, предложенным в работе Первиса [6], на основе операционных усилителей К 544 УД1А. Продуктивность мембран рассчитывали, используя данные, полученные при регистрации тока во время фиксированных гиперполяризующих смещений мембранныго потенциала на 5 или 10 мВ. Для получения вольт-амперных характеристик мембран применяли подачу прямоугольных импульсов напряжения различной амплитуды и длительностью 2 с. Регистрацию уровня фиксированного потенциала, ионного тока, расчет и регистрацию проводимости, а также подачу импульсов на вход усилителя фиксации потенциала производили с помощью информационно-вычислительного комплекса ИВК-3 на базе ЭВМ СМ-3.

В проведенных опытах использовали среды с различным ионным составом (ммоль/л), представляющие собой раствор Гольтфретера и его модификации, сбалансированные по ионной силе. Раствор А: KCl — 1,4, NaCl — 110, CaCl₂ — 1,8, трис-HCl — 5; pH 7,6. Раствор Б: KCl — 1,4, NaCl — 40, CaCl₂ — 1,8, сахароза — 140, трис-HCl — 5; pH 7,6. Раствор Г: KCl — 1,4, NaCl — 0, CaCl₂ — 1,8, холинхлорид — 110, трис-HCl — 5; pH 7,6. Раствор Д: KCl — 40, NaCl — 40, CaCl₂ — 1,8, сахароза — 220, трис-HCl — 5; pH 7,6.

Результаты и их обсуждение

Перивитлиновая оболочка служит барьером, предохраняющим зародыш от механических повреждений и резких изменений условий инкубации. Поэтому предстояло выяснить, как скажется лишение оболочки на уровне ТМП, и можно ли проводить опыты в проточной камере. Для получения большого числа зародышей, лишенных оболочек, используют трипсин. Однако мы заметили, что проводимость мембран после обра-

ботки зародышей трипсином увеличивается в 2—5 раз и восстанавливается лишь через 3—4 ч их дальнейшего развития. Поэтому зародыши освобождали от перивителлиновой оболочки механическим способом с помощью препаровальных игл. Установлено, что значения проводимости мембран и ТМП у зародышей, лишенных оболочки, почти не отличались от значений этих показателей у контрольных клеток, не подвергавшихся микрохирургическим операциям, поэтому все дальнейшие опыты проводили на освобожденных от оболочек эмбрионах.

После прокалывания микрэлектродом мембранны зародыша регистрируется ТМП — 15 мВ ± 5 мВ, который медленно в течение 10—

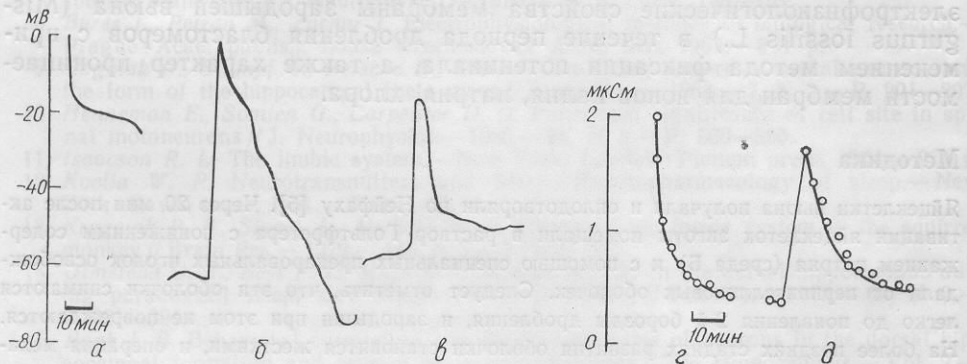


Рис. 1. Уровень ТМП ($a - e$) и проводимость мембран (ε, δ) зародышей вынона в момент прокола микроЭлектродом:

a, *g* — введение микроэлектрода в клетку через 40 мин после оплодотворения; *b*, *d* — повторное введение микроэлектрода в ту же клетку через 2—3 с после его выведения; *c* — введение в клетку второго измерительного микроэлектрода.

15 мин увеличивается до характерного уровня ТМП на данной стадии развития (рис. 1, а). Этот эффект (так называемое заживание) наблюдается также и при повторных проколах мембранны микроэлектродом (рис. 1, б). При регистрации ТМП в момент введения в ту же клетку второго (измерительного) электрода наблюдаются быстрая деполяризация мембранны до -15 — -20 мВ и последующее восстановление уровня ТМП как и в первом случае (рис. 1, в). Показано, что во время введения в клетку микроэлектрода увеличивается проводимость мембранны (рис. 1, г, д), а продолжительность ее нормализации соответствует времени реполяризации при заживлении мембранны после микроукала. Поэтому наиболее целесообразно вводить микроэлектрод в первые 1,5 ч развития, когда уровень ТМП в клетке низкий и мембранны быстрее восстанавливает свои электрические характеристики.

При изучении механизмов колебаний (динамики) ТМП неизбежны значительные отклонения его уровня от контрольного вследствие изменений ионного состава среды. Исключить возможное влияние изменений уровня ТМП на характер ионной проводимости мембран можно, использовав метод фиксации потенциала. Однако применение этого метода для изучения клеток больших размеров нежелательно, так как потенциал может фиксироваться неравномерно по всей их поверхности. Следует также учитывать тот факт, что во время развития происходит постоянная структурная перестройка зародыша, уменьшаются размеры клеток, а коэффициент электрической связи между дробящимися клетками, равный единице до 6-го дробления, постепенно снижается и уже после 10-го дробления составляет $0,20 \pm 0,09$ [1].

Для проверки уровня фиксации потенциала в зародыш вынона вводили третий измерительный электрод. В первые 3—4 ч развития (стадия 32—64 бластомеров) контролируемый уровень потенциала не отличался от такового фиксированного потенциала, не изменялся во времени и не зависел от места введения микроэлектродов. Измерения проводили при значениях фиксированного потенциала —30, —40, —50, —60 мВ. Как показали наши измерения, начиная со стадии 64 бласто-

меров и до стадии морулы, в
клонялись от прежнего уровня
развития) сопровождалось бо-
ем потенциала в различных
показывают, что применение
дования электрофизиологичес-
первые 5—6 ч развития вполне

Нами ранее было показано, что зависимость [3]. С помощью уп-

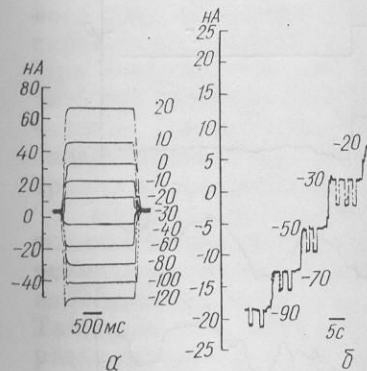


Рис. 2. Потенциалозависимость ионно-дыней вынона:

a — кривые ионных токов, полученные при до значений, указанных возле соответствующих импульсов — 10 мВ; *b* — вольтампметрические измерения на различных стадиях начального интерфазы.

ции потенциала (рис. 2, а), а теристики (рис. 2, б) в пределах, вольт-амперные характеристики полученные на различных стадиях молинейный характер в пределах поляризации мембран происходит проводимости. Вольт-амперные характеристики, соответствующей потенциальному — 60 мВ, относительному потенциальному. Предполагается, что меняется калиевая проводимость.

Несмотря на прямолинейность стик, при фиксации потенциал 15 мин после начала фиксации ионного тока, которые носят характер деполяризации мембран до — икры. Природа этих изменений изучения.

Учитывая сказанное, ионизировали при значениях фиксированного потенциала на другом за- дробление идет синхронно во реально сопоставить изменения уровня ТМП.

Как видно из результатов времени развития зародышей выров изменялись проводимость

и на вливали
одыша
особом
проводи-
чи не
ток, не
 дальней-
ях.
а реги-
е 10—

меров и до стадии морулы, контролируемые значения потенциала отклонялись от прежнего уровня на 1—2 мВ. Образование морулы (6 ч развития) сопровождалось более значительным (4—5 мВ) отклонением потенциала в различных бластомерах зародыша. Эти результаты показывают, что применение метода фиксации потенциала для исследования электрофизиологических характеристик зародышей выноса в первые 5—6 ч развития вполне реально.

Нами ранее было показано, что проводимость мембран потенциало-зависима [3]. С помощью упомянутого метода была рассчитана проводимость мембран зародышей выноса при различных уровнях фикса-

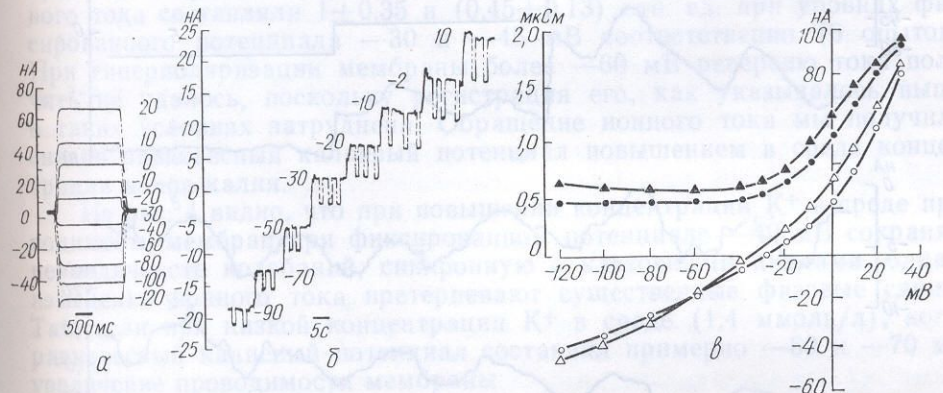


Рис. 2. Потенциалозависимость ионного тока (*a*, *b*) и проводимости мембран (*c*) зародышей выноса:

a — кривые ионных токов, полученные при изменении уровней мембранных потенциалов от -30 мВ до значений, указанных возле соответствующих кривых; *b* — кривые изменения ионного тока при ступенчатой деполяризации мембрани зародышей выноса от -90 до уровней мембранных потенциалов, значение которых указано возле соответствующих ступенек тока. Амплитуда гиперполяризующих импульсов -10 мВ; *c* — вольтамперные характеристики (\circ , Δ) и проводимость мембран (\bullet , \blacktriangle), измеренные на различных стадиях клеточного цикла; (Δ , \blacktriangle) — начало митоза, (\bullet , \circ) — начало интерфазы.

ции потенциала (рис. 2, *a*), а также построены вольт-амперные характеристики (рис. 2, *b*) в пределах -120 — $+30$ мВ. Как видно из рис. 2, *c*, вольт-амперные характеристики и значения проводимости мембран, полученные на различных стадиях клеточного цикла, имеют почти прямолинейный характер в пределах -120 — -30 мВ, при дальнейшей деполяризации мембран происходит усиление ионного тока и увеличение проводимости. Вольт-амперные кривые пересекаются в точке, соответствующей потенциальному -60 мВ, что соответствует калиевому равновесному потенциальному. Предполагается, что в течение клеточного цикла изменяется калиевая проводимость мембран.

Несмотря на прямолинейный характер вольт-амперных характеристик, при фиксации потенциала в диапазоне -60 — -120 мВ через 10—15 мин после начала фиксации происходят значительные флюктуации ионного тока, которые носят непериодический характер и исчезают при деполяризации мембран до -60 , -50 мВ, что зависит и от партии икры. Природа этих изменений ионного тока требует дальнейшего изучения.

Учитывая сказанное, ионные токи и проводимость мембран изменили при значениях фиксированного потенциала -30 , -40 , -50 , -60 мВ. Одновременно с измерением проводимости в условиях фиксации потенциала на другом зародыше, развивающемся в аналогичных условиях в соседней камере, регистрировали уровень ТМП. Поскольку дробление идет синхронно во всех зародышах одной партии, то вполне реально сопоставить изменения ионного тока с колебательной динамикой уровня ТМП.

Как видно из результатов опытов, представленных на рис. 3, во время развития зародышей выноса синхронно с дроблениями бластомеров изменялись проводимость мембран, ионный ток и уровень ТМП.

При этом средние значения ТМП почти не отличались от таковых, измеренных ранее на зародышах в первичной оболочке (рис. 3, 1). На стадии 2—4 бластомеров они составляли $-25,3 \text{ мВ} \pm 3,1 \text{ мВ}$ (25 опытов). Постепенно уровень ТМП увеличивался и на стадиях 32—64 бластомеров достигал $-58,5 \text{ мВ} \pm 3,0 \text{ мВ}$ в точках максимумов (см. рис. 3, 1). Амплитуда колебаний в каждом митотическом цикле через 3 ч развития составляла $9,7 \text{ мВ} \pm 1,0 \text{ мВ}$. В другой серии опытов было установлено, что проводимость в первые 2—3 ч развития варьировала

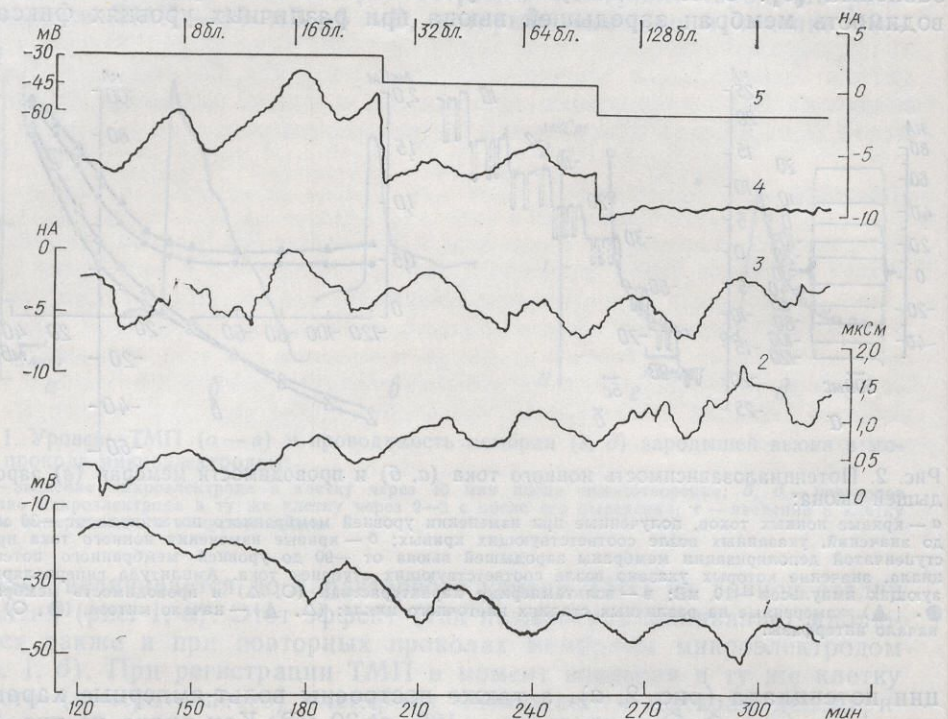


Рис. 3. Динамика изменений электрофизиологических характеристик мембран зародышей выноса в период дробления:

1 — уровень ТМП; 2 — проводимость мембран; 3 — ионный ток при фиксированном потенциале -40 мВ ; 4 — ионный ток при различных уровнях фиксированного потенциала, которые изображены в виде ступенек (5). Ионные токи и проводимости мембран измеряли в режиме фиксации потенциала.

в пределах от 0,1 до 0,3 мкСм, но по мере дальнейшего развития зародышей она постепенно увеличивалась до $0,71 \text{ мкСм} \pm 0,15 \text{ мкСм}$ (16 опытов; рис. 3, 2). Амплитуда колебаний проводимости на стадии 16 бластомеров составляла $0,15 \text{ мкСм} \pm 0,02 \text{ мкСм}$, в отдельных опытах — $0,5 \text{ мкСм}$, при значении в точке максимума $0,8 \text{ мкСм}$, т. е. в течение клеточного цикла изменения проводимости мембранны составляли 62 %.

При фиксации потенциала на уровне -40 мВ (этот уровень отвечает средним значениям ТМП зародышей) амплитуда колебаний тока у различных зародышей составляла от 2 до 5 нА. Но в то же время, если среднее значение амплитуды колебаний ионного тока в отдельном опыте принять за 1, то вариабельность амплитуды колебаний составляла не более $\pm 0,25$ (16 опытов; рис. 3, 3). Как видно из рис. 3, колебания проводимости синхронны с чередующимися через равные промежутки времени клеточными делениями. Причем максимум проводимости, измеренной в условиях фиксации потенциала, совпадает по времени с максимальным уровнем ТМП, а возрастание проводимости сопровождается усиливанием выходящего тока. В пользу предположения, высказанного при анализе вольт-амперных кривых, о калиевой природе изменений проводимости в клеточном цикле свидетельствует и характерная зависимость амплитуды колебаний ионного тока от уровня фик-

сированного потенциала. Индуциальная вариабельность при изменениях ионного тока изучали в течение одного цикла амплитуду колебаний ионного потенциала -30 мВ принимая

Из представленных на гиперполяризации мембранных шается от 4 до 2 нА, а -60 мВ достигает нуля. Ее при -50 и при -65 мВ . Стационарного тока составляли $1 \pm 0,5$ нА. Уровень фиксированного потенциала -40 мВ . При гиперполяризации мембранные токи не удалось, поскольку в таких условиях затруднено снизив равновесный калиевый концентрации ионов калия.

Из рис. 4 видно, что проводимость мембранных токов при фиксации потенциала -40 мВ имеет периодичность колебаний, соответствующую изменениям ионного тока при фиксации потенциала. Так, если при низкой концентрации калия в среде ($1,4 \text{ мМоль/л}$) равновесный калиевый потенциал был -40 мВ , то при высокой концентрации K^+ в среде (40 мМоль/л) равновесный потенциал для ионного тока достигал положительных значений.

Рис. 4. Изменения проводимости (1) и ионного тока (2) в течение циклов дробления бластомеров при повышенной концентрации калия (мМоль/л):
а — 1,4; б — 40; в — 1,4. Уровень фиксации потенциала -40 мВ .

наблюдалась реверсия калиевого потенциала, который в это время совпадал с усиливанием ионного тока (стадия 32 бластомеров). При последующем повышении концентрации калия картина синхронной ритмичности колебаний изменилась (рис. 4; стадия 32 бластомеров). Сведения об опосредованном влиянии калия на мембранные ионы ооцитов *Xenopus laevis* в это время у зародышей выноса показывают, что активность аденилаткиназы и прометафазу каждого клеточного деления определяет эти данные в совокупности. Поэтому можно предполагать наличие в клетке пул цАМФ и колебательной активности мембранных ионных токов.

Поскольку электрофизиологические параметры постоянно изменяются, то введение в среду калия в различные моменты времени проводимость мембранных токов и ионный ток зародышей весьма сложно. Так, например, фиксация потенциала А на В) вызывала гиперполяризацию мембранных токов, причем она не зависела от концентрации калия в среде, а также вклад в общую ионную проводимость мембранных токов.

аковых, (рис. 3, 3,1 мВ виях 32—ров (см. че через ов было аировала

ированного потенциала. Поскольку отмечена значительная индивидуальная вариабельность проводимости мембран зародышей, характер изменений ионного тока при различных уровнях фиксации потенциала изучали в течение одного опыта. Для сравнения результатов среднюю амплитуду колебаний ионного тока при значениях фиксированного потенциала —30 мВ принимали за 1.

Из представленных на рис. 3, 4 результатов видно, что по мере гиперполяризации мембранны амплитуда колебаний ионного тока уменьшается от 4 до 2 нА, а при значениях фиксированного потенциала —60 мВ достигает нуля. В отдельных опытах такой эффект наступал при —50 и при —65 мВ. Средние значения амплитуды колебаний ионного тока составляли $1 \pm 0,35$ и $(0,45 \pm 0,13)$ отн. ед. при уровнях фиксированного потенциала —30 и —45 мВ соответственно (6 опытов). При гиперполяризации мембранны более —60 мВ реверсию тока получить не удалось, поскольку регистрация его, как указывалось выше, в таких условиях затруднена. Обращение ионного тока мы получили, снизив равновесный калиевый потенциал повышением в среде концентрации ионов калия.

Из рис. 4 видно, что при повышении концентрации K^+ в среде проводимость мембранны при фиксированном потенциале —40 мВ сохраняет периодичность колебаний, синхронную с клеточными циклами, однако изменения ионного тока претерпевают существенные фазовые сдвиги. Так, если при низкой концентрации K^+ в среде (1,4 ммоль/л), когда равновесный калиевый потенциал составлял примерно —60 и —70 мВ, увеличение проводимости мембранны сопровождалось усилением выходящего тока (рис. 4; стадия 8 бластомеров), то при высокой концентрации K^+ в среде (40 ммоль/л), когда равновесный потенциал для K^+ достигал положительных значений,

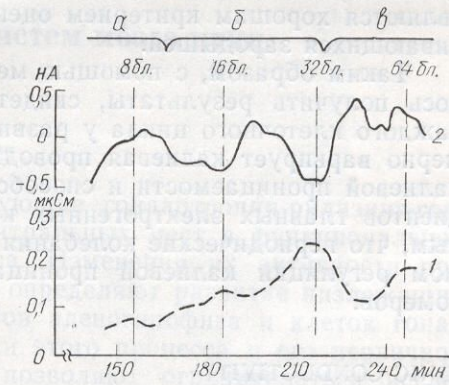


Рис. 4. Изменения проводимости мембранны (1) и ионного тока (2) в течение клеточных циклов дробления бластомеров под действием повышенной концентрации ионов калия (ммоль/л):
а — 1,4; б — 40; в — 1,4. Уровень фиксированного потенциала —40 мВ.

наблюдалась реверсия калиевого тока, а увеличение проводимости по времени совпадало с усилением входящего тока (рис. 4; стадия 16 и 32 бластомеров). При последующей отмытке избытка ионов калия картина синхронной ритмичности изменений ионного тока восстанавливалась (рис. 4; стадия 64 бластомеров). В связи с этим интересны сведения об опосредовании увеличения калиевой проводимости мембранны ооцитов *Xenopus laevis*, стимуляцией синтеза цАМФ [9]. В то же время у зародышей выноса, как было нами ранее обнаружено [4], активность аденилаткиназы и количество цАМФ увеличиваются в прометафазу каждого клеточного цикла в период дробления. Анализ этих данных в совокупности с результатами настоящей работы позволяет предполагать наличие взаимосвязи периодического нарастания пула цАМФ и колебательного характера изменений калиевой проводимости мембранны.

Поскольку электрофизиологические характеристики мембранны постоянно изменяются, то выяснение вклада отдельных ионов в общую проводимость мембранны и их влияния на уровень ТМП делящихся зародышей весьма сложно. Так, замена ионов натрия на холин (раствора А на В) вызывала гиперполяризацию мембранны лишь на 1—3 мВ, причем она не зависела от стадии клеточного цикла. Незначителен также вклад в общую ионную проводимость мембранны клеток развиваю-

ящихся зародышей вьюна и ионов хлора. Определить проницаемость мембран для ионов хлора заменой их на SO_4^{2-} не представлялось возможным, поскольку при уменьшении $[\text{Cl}^-]$ в 2 раза достоверных изменений проводимости мембран не наблюдалось, а дальнейшее увеличение в среде концентрации SO_4^{2-} приводило к выпадению в осадок соли CaSO_4 и получаемые эффекты были вызваны изменением концентрации Ca^{2+} в среде. При замене холина хлористого на сахарозу (растворы В и Г) не отмечено каких-либо существенных изменений уровня ТМП и проводимости мембран.

Одновременно с измерением электрофизиологических параметров мембран исследовали влияние уровня фиксированного потенциала в пределах -30 — 50 мВ на правильность прохождения этапов развития зародыша. Показано, что жизнеспособность исследованных клеток после выведения из них микроэлектродов не отличается от таковой контрольных зародышей, не подвергавшихся проколам, и не зависит от уровня фиксированного потенциала в пределах -30 — 60 мВ. При сдвигах фиксированного потенциала в сторону более положительных значений, чем -30 мВ, наблюдали увеличение проводимости, о чем сообщалось ранее [3]. Зародыши, которые подвергались воздействию низкими уровнями фиксированного потенциала в течение длительного времени (более 4 ч), погибали через 10 ч развития. Кроме того, мы обнаружили, что у зародышей, выживаемость которых составляла не более 40 % через 24 ч развития, всегда регистрировались низкий уровень ТМП (менее -25 мВ) и высокая ионная проводимость мембран (более 1,5 мкСм). Из этого следует, что электрические характеристики мембран являются хорошим критерием оценки физиологического состояния развивающихся зародышей.

Таким образом, с помощью метода фиксации потенциала нам удалось получить результаты, свидетельствующие о том, что в течение каждого клеточного цикла у развивающихся зародышей выноса закономерно варьирует калиевая проводимость мембран, отражая изменения калиевой проницаемости и способствуя коррекции примембранных градиентов главных электрогенных катионов. Отсюда становится очевидным, что периодические колебания уровня ТМП опосредованы механизмом регуляции калиевой проницаемости мембран дробящихся blastomerов.

IONIC CONDUCTIVITY OF CELL MEMBRANES IN DEVELOPING LOACH EMBRYOS

E. A. Goida, I. R. Medvyna

The voltage clamp method has been investigated for the possibility to be applied for studying electrical characteristics of membranes during cleavage of loach (*Misgurnus fossilis* L.) embryos. Voltage clamp membrane potential level is distributed uniformly along the whole embryo surface. Deviations from the mean value do not exceed 2 mV during the first 6 hours of the development. Dynamics of the membrane conductivity and ion current under conditions of voltage clamp in this period is shown. Changes in the membrane conductivity of the embryos for Na^+ and Cl^- are insignificant in the space of time under study. Oscillations of the outward current and membrane conductivity for K^+ are synchronous with the cell cycles of blastomers cleavage. Amplitude of the conductivity oscillations amounts to 30-60 % of the maximum rates. It is suggested that the periodical fluctuations of the transmembrane potential level during synchronous cleavage of *Misgurnus fossilis* L. blastomers are caused by cyclic nucleotide-dependent oscillations of the potassium membrane conductivity.

A. V. Palladin Institute of Biochemistry,
Academy of Sciences of the Ukrainian SSR, Kiev

1. Божкова В. П., Ковалев С. А., Чайлахян Л. М., Шилянская Э. Н. Исследование электрической связи между клетками зародышей выноса на ранних стадиях развития // Онтогенез.—1871.—2, № 5.—С. 512—516

2. Гойда О. А. Трансмембранные АН УРСР.—1983.—№ 12.—С. 1—12.
 3. Гойда Е. А., Медына И. Р. Повышение на динамику трансмембранного союза конф. по биологии клетки.—Л.: Наука, 1984.—15, № 2.—С. 171—176.
 4. Лазарева А. В., Ротт Н. Н., Григорьев А. А. Биохимия и физиология родыша в выноса на протяжении жизни.—М.: Наука, 1984.—15, № 2.—С. 171—176.
 5. Нейфах А. А. Использование ядерной магнитной резонансной спектроскопии для изучения состояния и функций клеток в раннем заживлении.—М.: Мир, 1983.—213 с.
 6. Первис Р. Минкрайэлектродные методы. М.: Мир, 1983.—208 с.
 7. Jaffe L. F., Nucitelli R. Elektrische Stimulation der Zellen und Gewebe. Bioeng.—1977.—6, N 3.—P. 445—450.
 8. Lynn J., Chambers E. Voltage Sensitive Proteins. Develop. Biol.—1984.—102, N 1.—P. 1—10.
 9. Stinnakre J., Renterghem C. Cell membrane potential and the current induced by adenosine. J. Physiol.—1984.—374.—P. 551—569.

Ин-т биохимии им. А. В. Паллади
АН УССР, Киев

УДК 612.063.084:612.826:612.616

Роль катехоламинергии в регуляции функций г

А. Г. Никоненко, А. Н. Птица, П.

Нейроциты гипоталамуса, гипофиз (Гн-РГ), занимают один из уровней иерархии репродуктивного цикла. Половое созревание предшествует звеневому комплексу — гонадам [4, 6]. Однако поиски исходного физиологического детерминарования онтогенетических процессов в настоящее время становится задачей, требующей выявления факторов их микроокружения, моноамины, опиоидных пептидов, возможно, и полового созревания. Целью в этом качестве катехоламина

Методика

Исследования проводили на петухах возраста. Птицы ежедневно в течение, содержавший предшественник и блокатор его периферического фенилпропионовую кислоту. Дозы L-ДОФА на 100 г массы тела. Группу в логичном режиме инъектировали блокатор (перидол (30 мкг/100 г). Возраст птицы и степень развития семенников. логически с помощью набора реакций

Физиол. журн.—1988.—34. № 6